ผลการทดลอง

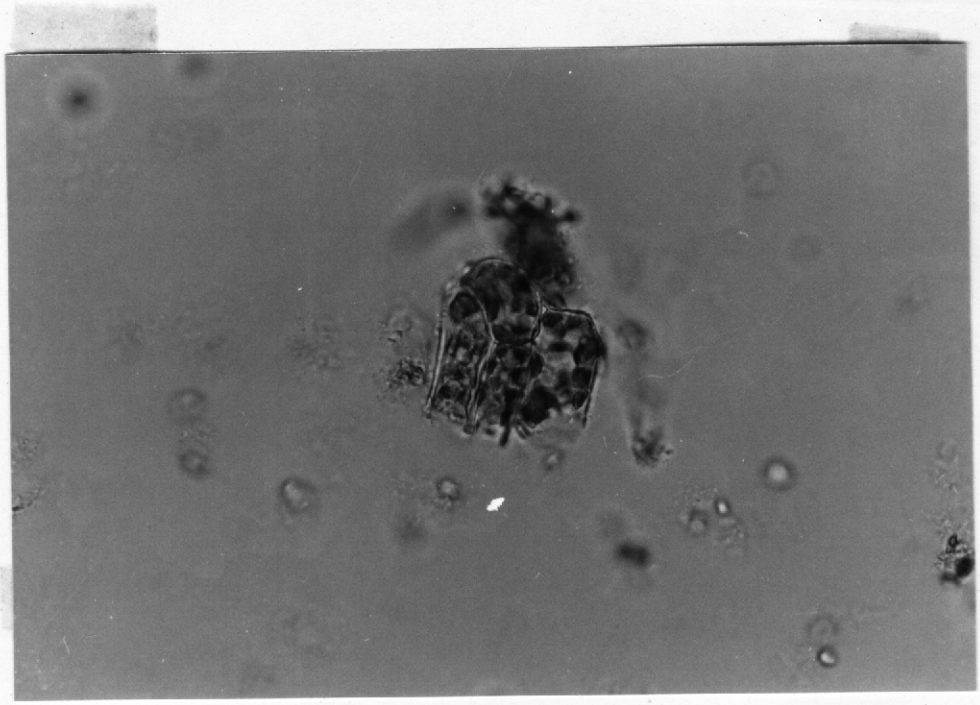

รูปที่ 6 แสดงการหลุดของคลอโรพลาสต์จากเซลล์

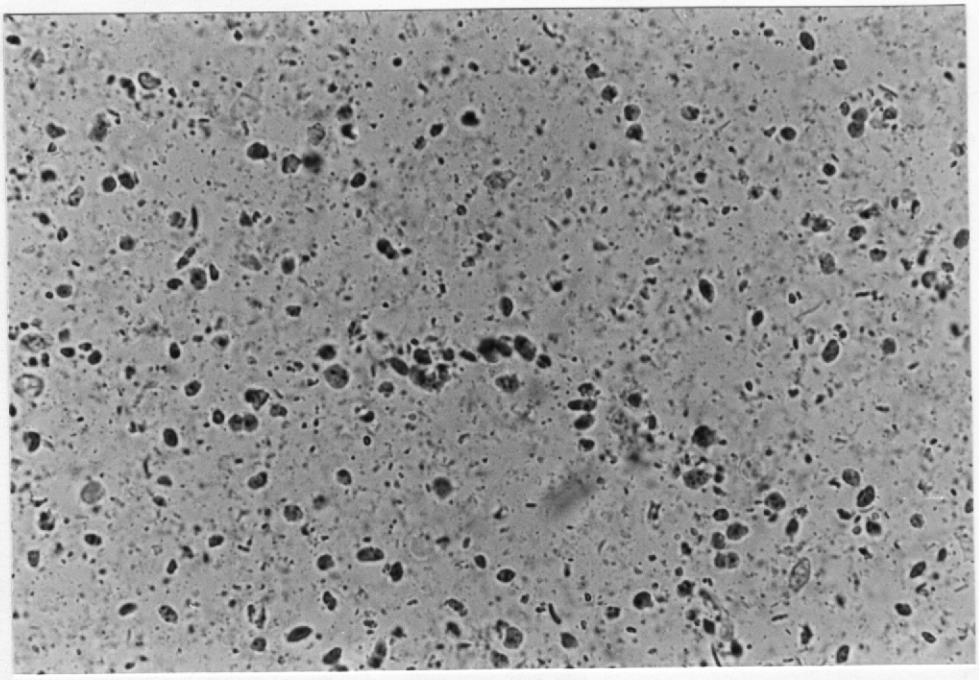

รูปที่ 7 แสดงคลอโรพลาสต์ก่อน layer บน sucrose step gradient

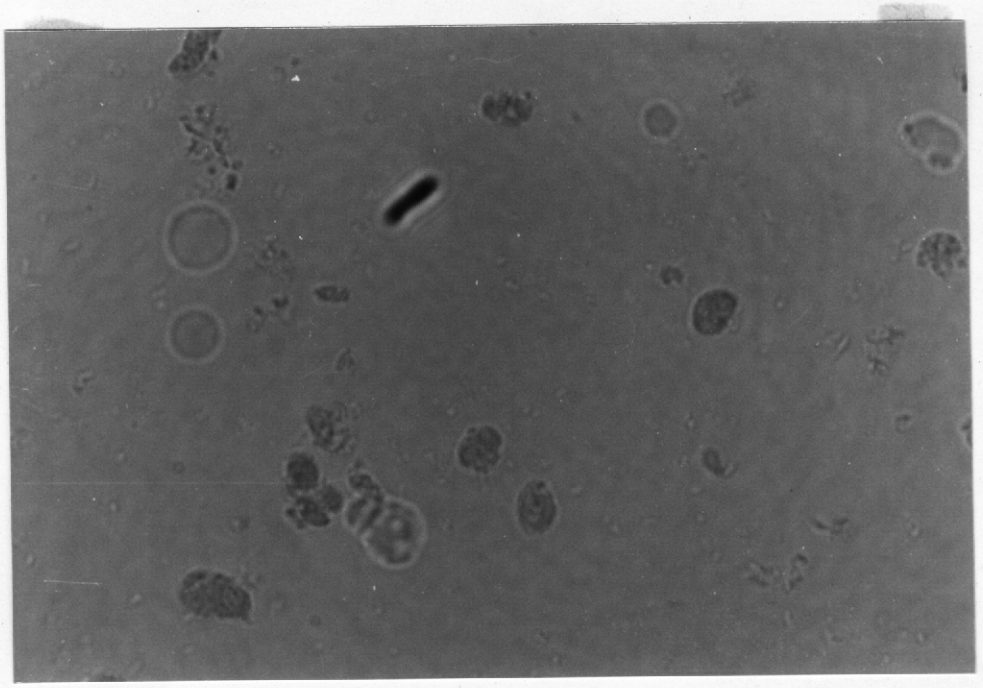

รูปที่ 8 แสดงคลอโรพลาสต์หลัง layer บน sucrose step gradient

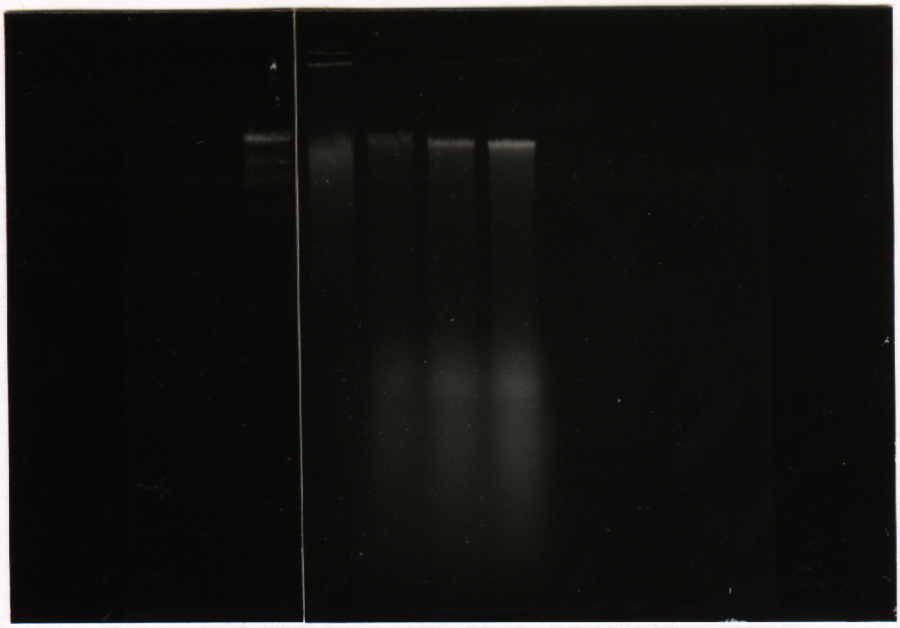

รูปที่ 9 แสดงผลของดีเอ็นเอโดยการสกัดดีเอ็นเอของคลอโรพลาสต์ตามวิธีของ J.D.Palmer และการสกัดดีเอ็นเอทั้งหมด

ช่องที่ 1 ดีเอ็นเอของ λ ปริมาณ 125 นาโนกรัม
ช่องที่ 2 ดีเอ็นเอของคลอโรพลาสต์ที่ตัดด้วยเอนไซม์ Hind III
ช่องที่ 3 ดีเอ็นเอทั้งหมด ปริมาตร 5 ไมโครลิตร
ช่องที่ 4 ดีเอ็นเอทั้งหมด ปริมาตร 10 ไมโครลิตร
ช่องที่ 5 ดีเอ็นเอทั้งหมด ปริมาตร 15 ไมโครลิตร

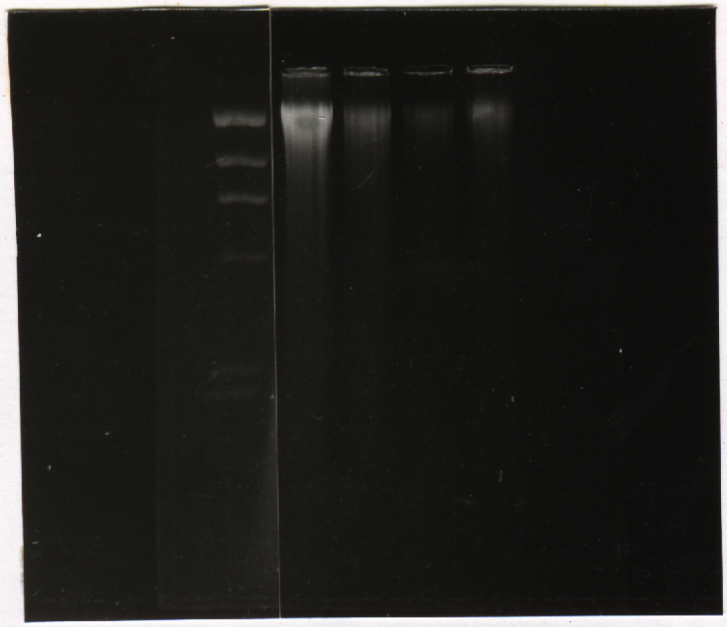

รูปที่ 10 แสดงผลของดีเอ็นเอที่สกัดตามวิธีของ J.D.Palmer และใช้เอนไซม์ RNase ย่อย อาร์เอ็นเอ

ช่องที่ 1 ดีเอ็นเอของ λ ปริมาณ 125 นาโนกรัม
ช่องที่ 2 ดีเอ็นเอของคลอโรพลาสต์ที่ไม่ได้ตัดด้วยเอนไซม์ปริมาตร 5 ไมโครลิตร
ช่องที่ 3 ดีเอ็นเอของคลอโรพลาสต์ที่ใช้ RNase ปริมาตร 5 ไมโครลิตร
ช่องที่ 4 ดีเอ็นเอของคลอโรพลาสต์ที่ใช้ RNase และตัดด้วยเอนไซม์ EcoR I ปริมาตร 5 ไมโครลิตร
ช่องที่ 5 ดีเอ็นเอของคลอโรพลาสต์ที่ใช้ RNase และตัดด้วยเอนไซม์ EcoR I ปริมาตร 10 ไมโครลิตร

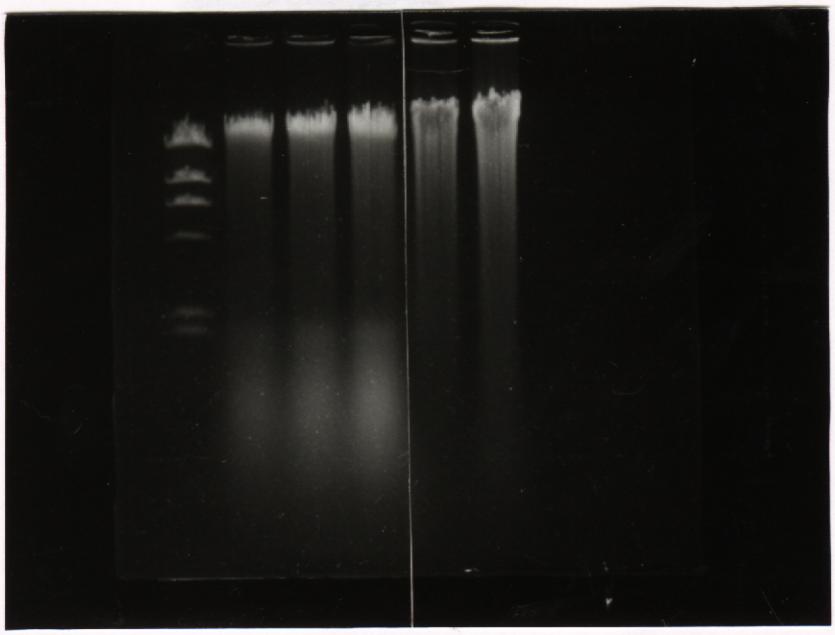

รูปที่ 11 แสดงดีเอ็นเอของคลอโรพลาสต์ของพันธุ์ปาล์ม เทเนร่า และดูร่าซึ่งสกัดตามวิธีของ Richard Koiodner และ K.K.Tewari

ช่องที่ 1 ดีเอ็นเอของ ประมาณ 125 นาโนกรัม

ช่องที่ 2,3,4 ดีเอ็นเอของคลอโรพลาสต์ของพันธุ์ปาล์ม เทเนร่า ปริมาตร 5,10, 15 ไมโครลิตร ตามลำดับ

ช่องที่ 5,6 ดีเอ็นเอของคลอโรพลาสต์ของพันธุ์ปาล์มดูร่า ปริมาตร 5,10 ไมโครลิตร ตามลำดับ

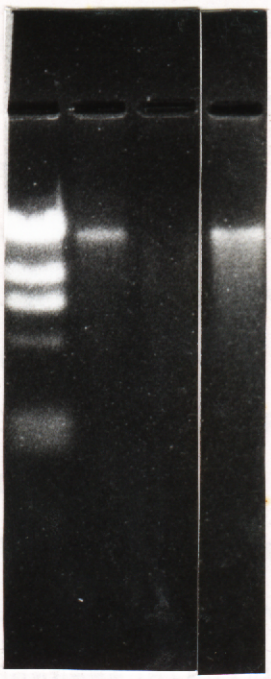

รูปที่ 12 แสดงดีเอ็นเอของคลอโรพลาสต์ที่สกัดตามวิธีของ Takashige Ishii ซึ่งผ่านการทำให้บริสุทธิ์โดยวิธี Low melting gel และนำมาตัดด้วยเอนไซม์ตัดจำเพาะ Hind III

ช่องที่ 1 ดีเอ็นเอของ Hind III ปริมาณ 300 นาโนกรัม

ช่องที่ 2 ดีเอ็นเอของคลอโรพลาสต์ที่สกัดตามวิธีของTakashige Ishii ผ่านการทำให้บริสุทธิ์ด้วยวิธี Low melting gel

ช่องที่ 3 ดีเอ็นเอของคลอโรพลาสต์ที่สกัดตามวิธีของTakashige Ishiiผ่านการทำให้บริสุทธิ์ด้วย low melting gel electrophoresis นำมาตัดด้วยเอนไซม์ตัดจำเพาะ Hind III

ช่องที่ 4 ดีเอ็นเอของคลอโรพลาสต์สกัดตามวิธีของTakashige Ishii ที่ไม่ผ่าน